

Separation of ibuprofen drugs enantiomers by using chiral carbon nanotube with molecular dynamics simulation

Melahatsadat Rasoolidanesh¹, Masoud Darvish Ganji²

¹Department of Nanochemistry, Faculty of Pharmaceutical Chemistry, Tehran Medical Sciences, Islamic Azad University, Tehran, Iran

²Department of Chemistry, Qaemshahr Branch, Islamic Azad University, Qaemshahr, Iran

Abstract

Background: The separation of drug enantiomers in the pharmaceutical industry is of great importance since most organic compounds are chiral. The main purpose of this study was to calculate the binding energy of ibuprofen isomers interacting with the CNT, according to various adsorption configurations. Moreover, we have evaluated the performance of (16.4) chiral carbon nanotube for separation of ibuprofen enantiomers. Also, the interaction between R- and S-isomers of ibuprofen with the outer surface and internal sidewall of chiral CNT was investigated.

Materials and methods: The performance of (16.4) carbon nanotube has been evaluated for separation of ibuprofen enantiomers using molecular dynamics simulation. Quantum computations were also utilized, optimizing the molecular structure of the drug and the amount of charge of each atom in the ibuprofen enantiomers.

Results: The energy difference between the left and right-handed enantiomers inside the (16.4) carbon nanotube was equal to 0.5 eV (11.5 kcal/mol), while the adsorbed enantiomers on the outer surface of nanotube did not differ in energy.

Conclusion: The results of this study showed that there was a sufficient difference between the adsorption energy of the enantiomers adsorbed inside the (16.4) chiral carbon nanotube; therefore we can anticipate this nanotube will work effectively in the process of separating drug enantiomers.

Keywords: Ibuprofen, Carbon nanotube, Chirality, Enantioseparation, Molecular dynamics simulation.

Cited as: Rasoolidanesh M, Darvish Ganji M. Separation of ibuprofen drugs enantiomers by using chiral carbon nanotube with molecular dynamics simulation. Medical Science Journal of Islamic Azad University, Tehran Medical Branch 2020; 30(3): 227-236.

Correspondence to: Masoud Darvish Ganji

Tel: +98 9125833192

E-mail: Ganji_md@yahoo.com

ORCID ID: 0000-0001-8003-9682

Received: 13 Apr 2019; **Accepted:** 2 Jul 2019

جداسازی اننتیومرها داروی ایبوپروفن توسط نانو لوله کربنی کایرال با استفاده از شبیه سازی دینامیک مولکولی

ملاحـت سـادـات رـسـولـی دـانـشـیـ، مـسـعـودـ درـوـیـشـ گـنجـیـ^۱

^۱ دانشکده شیمی داروئی، دانشگاه علوم پزشکی آزاد اسلامی تهران، تهران، ایران

^۲ دانشکده شیمی، دانشگاه آزاد اسلامی واحد قائم شهر، مازندران، قائم شهر، ایران

چکیده

سابقه و هدف: جداسازی اننتیومرها داروهای کایرال در صنعت دارویی نوین از اهمیت زیادی برخوردار است، زیرا اکثر ترکیبات ارگانیک زیستی، کایرال هستند. هدف اصلی این طرح محاسبه انرژی اتصال ایزومرها ایبوپروفن در برهمکنش با نانولوله کربنی کایرال، با توجه به پیکربندی‌های مختلف جذب بود. به علاوه، قابلیت نانولوله کربنی کایرال (۱۶،۴)، برای جداسازی اننتیومرها ایبوپروفن و همچنین برهمکنش بین ایزومرها راست‌گرد و چپ‌گرد ایبوپروفن با سطح بیرونی و دیواره داخلی نانولوله کربنی بررسی شد.

روش بررسی: در این مطالعه، عملکرد نانو لوله کربنی (۱۶) برای جداسازی اننتیومرها ایبوپروفن با استفاده از شبیه سازی دینامیک مولکولی ارزیابی شد. به علاوه، از محاسبات کواترمی به منظور بهینه سازی ساختار مولکولی دارو و مقدار بار هر اتم در اننتیومرها ایبوپروفن استفاده شد.

یافته‌ها: اختلاف انرژی بین اننتیومرها چپ‌گرد و راست‌گرد در داخل نانولوله کربنی (۱۶)، به اندازه ۵٪ الکترون ولت (۱۱/۵ کیلوکالری بر مول) بود، در حالی که این اننتیومرها جذب شده بر روی نانولوله دارای اختلاف انرژی نبود.

نتیجه‌گیری: نتایج این مطالعه نشان می‌دهند با توجه به اینکه بین انرژی جذب اننتیومرها جذب شده در داخل نانو لوله کربنی (۱۶) اختلاف کافی وجود دارد، می‌توان انتظار داشت که این نانولوله در فرآیند جداسازی اننتیومرها به طور موثر عمل کند.

وازگان کلیدی: ایبوپروفن، نانو لوله کربنی، کایرالیتی، جداسازی اننتیومرها، شبیه سازی دینامیک مولکولی.

متفاوتی دارند. بیشتر واکنش‌های زیست شیمیایی که در بدن انسان صورت می‌گیرند، فضای گزین هستند، زیرا اغلب آنزیم‌هایی که در بدن وجود دارند، فعال نوری هستند و به طور متفاوتی با اننتیومرها R و S برهمکنش می‌دهند. بنابراین تاثیر دو اننتیومر R و S، بر بدن متمایز است. تقریباً نیمی از داروها به صورت مخلوط راسموک ((مخلوط مساوی از هر دو اننتیومر (R و S) عرضه می‌شوند، در حالی که تنها یکی از این اننتیومرها در بدن تاثیر دارویی دارد و اننتیومر دیگر نه تنها ویژگی درمانی ندارد بلکه در اغلب موارد دارای عوارض جانبی است و حتی در بعضی موارد، اثرات سمی دارد (۲، ۱).

بنابراین اگر عمل جداسازی اننتیومرها دارویی صورت گیرد، بیمار با مصرف دوز کمتری از دارو، تاثیر درمانی بیشتری را

مقدمه

اننتیومرها راست‌گرد (R) و چپ‌گرد (S) داروهای کایرال، خواص فیزیکی و شیمیایی مشابهی دارند و عملکردشان در تمامی واکنش‌های فیزیکی و شیمیایی یکسان است، اما در برهمکنش با یک ترکیب فعل نوری، متفاوت عمل می‌کنند. اننتیومرها مختلف از نظر فعالیت‌های بیولوژیکی، متابولیسم، خواص فارماکودینامیکی و فارماکوکینتیکی قابلیت‌های بسیار

آدرس نویسنده مسئول: قائم شهر، دانشکده شیمی، دانشگاه آزاد اسلامی واحد قائم شهر، مازندران،

دکتر مسعود درویش گنجی (email: Ganji_md@yahoo.com)

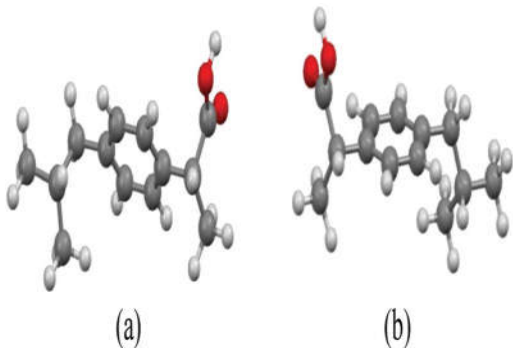
ORCID ID: 0000-0001-8003-9682

تاریخ دریافت مقاله: ۹۸/۱/۲۴

تاریخ پذیرش مقاله: ۹۸/۴/۱۱

ایبوپرو芬، یک مسکن قوی است و خواص دارویی مهمی مانند درمان سردرد، روماتیسم، آرتربیت، گرفتگی عضلانی، دیسمنوره اولیه، ورم مفاصل و درد ماهیچه دارد و هم چنین برای کاهش تب، تسکین درد خفیف و متوسط ناشی از سرماخوردگی یا آنفلونزا به کار می‌رود. ایبوپرو芬 نوعی داروی ضد التهاب غیر استروئیدی است و با مهار کردن آنزیم سیکلواکسیژناز، باعث مسدود شدن تولید پروستاگلاندین‌ها می‌شود. پروستاگلاندین‌ها یکی از مهم‌ترین واسطه‌های التهاب در بدن هستند. بنابراین مهار تولید آن‌ها توسط داروهای ضد التهاب غیر استروئیدی مانند ایبوپرو芬 به کاهش تورم، درد و یا تب کمک می‌کند.

این مولکول دارای دواناتیومر مختلف است: ایبوپرو芬 چپ گرد (S) یا دکسیبوپروفن و ایبوپروفن راست گرد (R) (شکل ۱).



شکل ۱. نمایش اناتیومرهای ایبوپرو芬 (آ) ایبوپروفن (R) و (ب) ایبوپروفن (S).

ایبوپروفن به عنوان یک ترکیب راسمیک عرضه می‌شود، اما فعالیت بیولوژیکی آن عمدتاً ناشی از ایبوپروفن چپ‌گرد (S) است و فرم راست‌گرد (R) نه تنها غیر فعال است، بلکه عوارض جانبی بسیاری مانند مشکلات انعقادی، زخم معده، آسیب کلیه و احتمال خونریزی نیز دارد (۱۱، ۱۲). از آنجایی که ایبوپروفن به صورت مخلوطی راسمیک عرضه می‌شود، لازم است اناتیومر (R) را از مخلوط راسمیک با استفاده از روش‌های جداسازی مناسب، جدا ساخت. انجام بررسی نظری بر مبنای روش‌های محاسباتی، برای بررسی نوع برهمکنش بین اناتیومرهای ایبوپروفن و نانولوله کربنی مفید خواهد بود. عملکرد نانو لوله‌های کربنی در جداسازی اناتیومرهای نانو با گزینش‌گرهای کایرال برای جداسازی ایزومرهای ایبوپروفن با استفاده از محاسبات کوانتمی مورد بررسی قرار گرفت (۳). در مطالعه مذکور، قابلیت نانولوله‌های کربنی کایرال (۱۰، ۵) - نقص دار و بدون نقش - در جدا سازی ایزومرهای کایرال

احساس می‌کند و از طرفی تحت تاثیر عوارض جانبی مربوط به اناتیومر ناخواسته، قرار نخواهد گرفت. اناتیومرهای مجزا در مقایسه با یک مخلوط راسمیک، جایگزین‌های ایمن‌تر و موثرتری را فراهم می‌کنند. محصولات تک اناتیومری خالص دارای مزایایی از قبیل کاهش توان بالقوه تعاملات پیچیده دارویی، مشخصات فارماکودینامیکی گزینشی بیشتر و دارای پیچیدگی کمتری بین غلظت پالسما و اثر هستند (۳، ۴).

چندین روش برای جداسازی اناتیومرهای از مخلوط‌های راسمیک در داروهای کایرال استفاده می‌شود (فرآیند های گزینشی کایرال (راسمیک به اناتیومر تک)). این روش‌ها عبارتند از انواع مختلف کروماتوگرافی نظیر کروماتوگرافی مایع فوق بحرانی، کروماتوگرافی گازی، الکتروفورز موبیرگی، نانو ال سی، کروماتوگرافی مایع با کارایی بالا و بعضی روش‌های دیگر مانند کربستالیزاسیون دیاستریومری، بیوکاتالیز و روش‌های جذب (۵-۹).

علیرغم این واقعیت که روش‌های مبتنی بر کروماتوگرافی به طور گسترشده‌ای برای جداسازی اناتیومرهای دارو به علت توانایی آنها برای تولید مقدار زیادی از محصولات استفاده می‌شوند، دارای معايبی نیز هستند. به عنوان مثال، روش‌های مبتنی بر کروماتوگرافی مقدار زیادی از فاز متحرک مصرف می‌کنند، نیاز به دستگاه و مواد گران قیمت داشته و به کار فشرده نیاز دارند؛ بنابراین، محققان در حال تلاش برای پیدا کردن راه‌های جایگزین برای تسهیل جداسازی اناتیومرهای دارویی هستند.

مطالعات تجربی نشان میردهند که نانومواد، خواص مناسب و عملکرد خوبی را به عنوان جاذبهای مولکول‌های نانومواد، خواص جمله داروها، ارائه می‌دهند (۱۰). به تازگی، نانومواد با خواص شیمیایی، فیزیکی، مکانیکی و حرارتی خاص مانند نانولوله‌های کربنی کایرال به منظور جداسازی مولکول‌های کایرال به دلیل وجود خواص ساختاری منحصر به فرد، مورد توجه قرار گرفته‌اند. با توجه به تمایلات متفاوت مولکول‌های اناتیومر برای تعامل با ترکیبات کایرال، می‌توان انتظار داشت، که نانولوله‌های کربنی با ویژگی‌های مشخص کایرال قادر به جدا کردن دو اناتیومر باشند.

برای این منظور، توانایی‌های نانولوله‌های کربنی کایرال را در جداسازی اناتیومرهای داروهای کایرال مورد بررسی قراردادیم و داروی ایبوپروفن را به عنوان یک نمونه در میان مولکول‌های کایرال در نظر گرفتیم. ایبوپروفن ترکیب کایرال درمانی مهمی است که به طور گسترشده‌ای به عنوان داروی ضد التهاب غیر استروئیدی مورد استفاده قرار می‌گیرد. داروی

کريستالها (General Utility Lattice Program: GULP) بر راست گرد و چپ گرد ايپوروفن مورد بررسی قرار گرفت و بر همکنش بین دو اننتیومر ايپوروفن و سطح بیرونی و دیواره داخلی نانولولهای کربنی ارزیابی شد. از روش محاسباتی نظریه تابعی چگالی (DFT) با اصلاح نیروهای پراکنده برای سیستم‌های مورد مطالعه استفاده شد. نتایج این مطالعه نشان داد که دیوارهای جانبی داخلی نانولوله کربنی نقص دار، دارای بیشترین تقاضا از نیروی از جذب اننتیومرهاي ايپوروفن هستند. بین جفت اننتیومرهاي در نظر گرفته شده اختلاف انرژی حدود $1/4$ کیلوکالری برمول وجود داشت که نشان می‌دهد که این نانولولهای فرآیند جداسازی اننتیومرها موثر عمل می‌کنند. در این مطالعه، سیستم‌های مورد نظر به صورت منزوی بوده و دمای محیط در نظر گرفته نشده است (۳). همچنین قطر نانولوله به اندازه کافی بزرگ نبود تا دارو به راحتی بتواند در حالت‌های مختلف استقرار یابد که این موضوع به محدودیت محاسبات کوانتمی در تعداد اتم‌های مورد بررسی مربوط می‌شود. به علاوه، با انجام فرایند بهینه سازی با روش کوانتمی، به سختی می‌توان به کمینه سطح انرژی سامانه‌های مولکولی دست یافت و نیازمند اجرای شبیه سازی دینامیک مولکولی است.

در این طرح، به منظور بررسی امکان استفاده از نانولولهای کربنی، به عنوان جاذب‌های مورد استفاده در جداسازی اننتیومرها، شبیه سازی دینامیک مولکولی برای بررسی بر همکنش بین ایزومرهاي ايپوروفن و سطح بیرونی و داخلی نانولوله کربنی کایرال (۱۶، ۴) را مورد مطالعه قرار دادیم. شبیه سازی در شرایط محیطی (دما و حلal) انجام می‌شود. هدف اصلی کار حاضر محاسبه انرژی اتصال ایزومرهاي ايپوروفن در بر همکنش با نانولوله کایرال مورد نظر با توجه به پیکربندی‌های مختلف جذب، بود. اطلاعات دقیق‌تر در مورد روش‌های محاسباتی و همچنین نتایج به دست آمده، در بخش‌های بعدی به طور کامل بیان شده است.

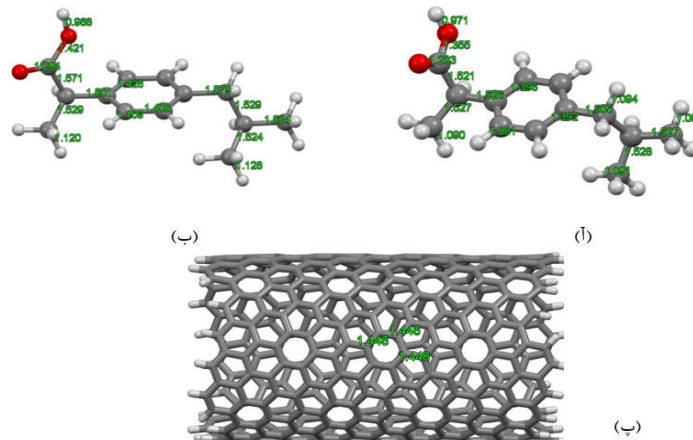
به علاوه میدان نیروی کنش‌گر، بر همکنش‌های غیرپیوندی بین تمام اتم‌ها را بدون توجه به نوع اتصال بین آنها توصیف می‌کند. با گنجاندن یک جمله حفاظتی در بر همکنش‌های واندروالسی و کولومبی، بر همکنش‌های غیر پیوندی کوتاه برد (دفعی / جذبی) که تعدادشان هم زیاد است، حذف شدند. میدان نیروی کنش‌گر با هدف ارائه یک پتانسیل قابل انتقال می‌تواند برای طیف گسترهای از محیط‌های شیمیایی مورد استفاده قرار گیرد.

برای اطمینان از قابلیت انتقال آن، دستورالعمل کلی زیر پذیرفته شده است:

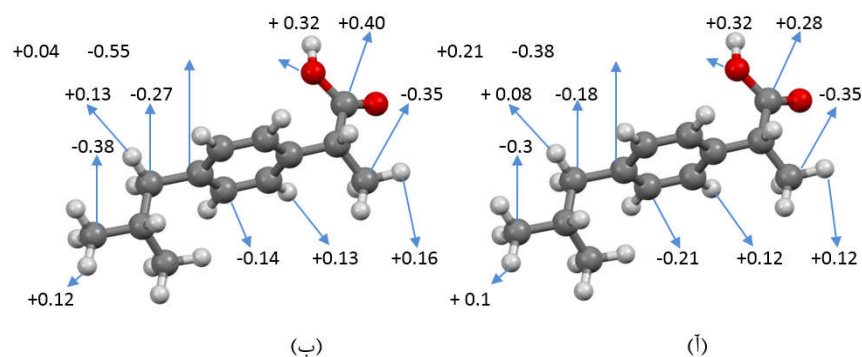
- عدم وجود انفال در انرژی یا نیرو، حتی در هنگام وقوع واکنش‌ها
- هر عنصر تنها به وسیله یک نوع میدان نیروی اتمی توصیف می‌شود.
- میدان‌های نیروی کنش‌گر اکسیژن در اکسیدهای فلزی و در مولکول‌های آلی، توسط مولفه‌های یکسانی توصیف می‌شوند.
- میدان نیروی کنش‌گر، اتم سه وجهی و چهار وجهی جدایگانه برای کربن ندارد؛ این روش هیبریداسیون اتم‌ها را به وسیله محیط شیمیایی اطرافشان تعیین می‌کند.

مواد و روشها

در این مطالعه، عملکرد نانولوله کربنی (۱۶، ۴) برای جداسازی اننتیومرهاي ايپوروفن با استفاده از شبیه سازی دینامیک مولکولی، مورد ارزیابی قرار گرفت. به علاوه، شبیه سازی دینامیک مولکولی برای تخمین انرژی‌های سامانه اننتیومر-نانولوله کربنی مورد استفاده قرار گرفت. شبیه سازی دینامیک مولکولی با استفاده از برنامه جامع کاربردی



شکل ۲. ساختار مولکولی بهینه شده (آ) ایبوپروفن راست‌گرد با استفاده از روش مکانیک کوانتمی DFT ، (ب) ایبوپروفن راست‌گرد با استفاده از روش مکانیک مولکولی و (پ) نانولوله کربنی (۴، ۱۶) با استفاده از روش مکانیک مولکولی



شکل ۳. آنالیز بار مولکول ایبوپروفن راست‌گرد به روش (آ) مکانیک کوانتمی و (ب) کلاسیکی

(۰/۵fs) است. برهمکنش‌های واندر والسی با فاصله منقطع ۱۲ آنگستروم صورت گرفتند. طرح جمع اوالد، برای توصیف برهمکنش‌های الکترواستاتیکی به کار رفت. هر سیستم طراحی شده به مدت 7s شبیه سازی شد و داده‌ها در 0ps جمع آوری شد. دمای سامانه بعد از حدود 20 ps به تعادل رسید.

به منظور اعتبار سنجی روش مکانیک مولکولی میدان نیروی کنشگر در شبیه سازی دینامیک مولکولی، بهینه سازی ساختار مولکولی دارو و اندازه گیری مقدار بار مستقر بر روی هر اتم در اننتیومرهای ایبوپروفن توسط محاسبات کوانتمی (ORCA) انجام شد. محاسبات کوانتمی توسط نرم افزار اورکا (ORCA) و با استفاده از روش DFT و تابعی B3LYP و سری پایه TZVP انجام شد. اعتبار نتایج محاسبات کوانتمی و شبیه سازی دینامیک مولکولی مورد استفاده در این پژوهش در کارهای پژوهشی دیگر نشان داده شده است (۱۸، ۱۹).

- داشتند یک تعریف اولیه از مکانهای احتمالی وقوع واکنش الزامی نیست، زیرا با توجه به دما و محیط شیمیایی مناسب، واکنش‌ها به صورت خود به خودی اتفاق می‌افتد (۱۴).

- مطالعات میدان نیروی کنشگر برای طیف وسیعی از مواد گزارش شده‌اند، از جمله هیدروکربن‌ها (۱۵)، نیترامین‌ها (۱۵)، سرامیک‌ها (۱۶)، سیلیسیم و اکسید سیلیسیم، فلزات و اکسیدهای فلزی (۱۵)، برهمکنش‌های هیدروکربن با فلز (۱۶) و هیدریدهای فلزی (۱۷). پتانسیل میدان نیروی کنشگر حدود دو برابر سنگین‌تر از میدان‌های نیروی متعارف، مانند چارم و آمبر است، اما به طور قابل ملاحظه‌ای سریع‌تر از روش‌های محاسباتی کوانتمی آغازین (*ab initio*) است.

در این پژوهش، شبیه سازی دینامیک مولکولی در حجم ثابت و دمای ثابت (۳۰۰ درجه کلوین) انجام شد که توسط ترموموستات آندرسن کنترل شد و دارای گام زمانی ثابت

يافته‌ها

نتایج انرژی کل سیستم نسبت به زمان شبیه سازی برای داروی متصل شده به سطح نانولوله برای اننتیومرهاي R و S در نمودار ۲ نمایش داده شده است. منحنی های به دست آمده نشان می دهنند که سیستم مورد نظر، بعد از حدود ۸۰۰۰ گام زمانی به تعادل ترمودینامیکی رسید. همچنین، تفاوتی در مقادیر انرژی کل سیستم برای اننتیومرهاي R و S مشاهده شد.

انرژی کل سیستم‌های نانولوله کربنی-اننتیومرهاي R و S در حدود (kcal/mol) ۴۶-۳۸۹۵/۲۵ - الکترون- ولت برآورد شد.

ساختار بهینه سازی شده برای اننتیومرهاي مورد نظر جذب شده بر روی نانولوله در شکل ۵ نشان داده شده است. با توجه به شکل، نزدیکترین فاصله تعادلی میان اننتیومرهاي R و S و سطح نانولوله به ترتیب برابر ۲/۱۹۵ و ۲/۲۹۲ آنگستروم است. همچنین فاصله حلقه‌های آروماتیک در دارو و نانولوله به ترتیب برابر ۳/۰۶۴ و ۳/۰۷۸ آنگستروم است. فاصله کمتر هیدروژن در اننتیومر R از طرفی و فاصله بیشتر حلقه آن از سطح نانولوله از طرف دیگر سبب اندازه یکسان جاذبه میان دو اننتیومر شده و در نتیجه انرژی کل دو سیستم با یکدیگر برابر می‌شود.

برهمکنش داروی کپسوله شده داخل نانولوله نشان می دهد که انرژی سامانه سیر نزولی داشت و بعد از ۷۰۰۰ گام زمانی به تعادل رسید (نمودار ۳). همچنین مشاهده می شود که برای ایپوروفن داخل نانو لوله، سطح انرژی اننتیومر چپ‌گرد، نسبت به اننتیومر راست‌گرد پایین‌تر قرار می‌گیرد. بعد از اینکه سامانه به تعادل رسید، انرژی اننتیومر چپ‌گرد روی ۳۸۹۶/۳- الکترون- ولت ثابت شد، در حالی که انرژی اننتیومر راست‌گرد روی ۳۸۹۶/۲۵- الکترون- ولت ثابت ماند. این نشان می دهد که بین انرژی جذب اننتیومر چپ‌گرد و راست‌گرد حدود ۰/۵ الکترون ولت (۱۱/۵ کیلوکالری بر مول) اختلاف انرژی وجود دارد و این اختلاف انرژی، تا آخرین گام زمانی ادامه داشته و به همین صورت حفظ می شود.

ساختار مولکولی بهینه شده نشان می دهد هیدروژن‌های مولکول ایپوروفن راست‌گرد در نزدیکترین فاصله تعادلی (۲/۲۵) آنگستروم، از سطح داخلی نانو لوله کربنی قرار گرفته، در حالی که اتم‌های هیدروژن مولکول ایپوروفن چپ‌گرد در نزدیکترین فاصله تعادلی (۲/۲۲) آنگستروم، از سطح داخلی نانو لوله قرار می گیرند. با توجه به وجود برهمکنش های جاذبه‌ای دوقطبی-پای (p) بین اتم‌های هیدروژن و سطح داخلی نانولوله، هرچه فاصله تعادلی هیدروژن‌های دارو از

ابتدا خواص ساختاری اننتیومرهاي ایپوروفن و نانولوله کربنی (۱۶، ۴) بر پایه میدان نیروی کنشگر و به وسیله مکانیک مولکولی محاسبه شد. برای این منظور، یک نانولوله کربنی کایرال شامل ۴۳۲ اتم کربن و ۴۰ اتم هیدروژن به عنوان نمونه مناسب، انتخاب شد.

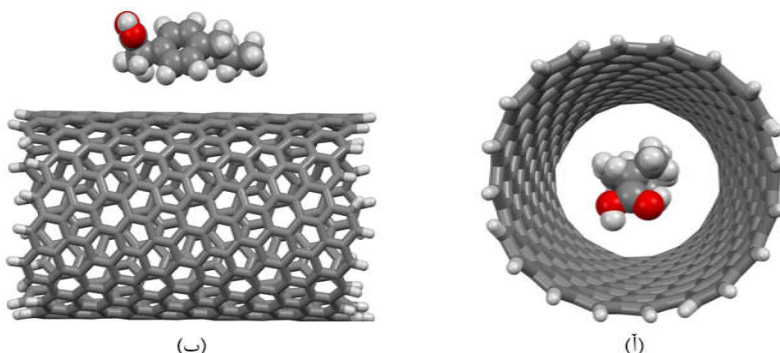
ساختار مولکولی بهینه شده نانو لوله کربنی (۴، ۱۶) و ایپوروفن راست‌گرد (R) در شکل ۲ نشان داده شده است. بهینه سازی ساختار مولکولی نانو لوله کربنی با استفاده از روش مکانیک مولکولی با پتانسیل کنشگر انجام شد (شکل ۲-پ). نتایج نشان می دهنند که طول پیوند محاسبه شده در تجربی طول پیوند C-C برابر ۱/۴۴ آنگستروم بود (۲۰، ۲۱). نتایج محاسبات مولکول ایپوروفن نیز نشان می دهد توافق بسیار خوبی با مقادیر گزارش شده تجربی داشت و مقدار کوانتمی DFT وجود دارد (شکل ۲).

همچنین آنالیز بار برای مولکول ایپوروفن با استفاده از روش‌های مکانیک کوانتمی مولیکن (Mulliken) و کلاسیکی (QBO) انجام شد. نتایج نشان می دهنند که توافق خوبی بین دو روش مزبور در اندازه گیری مقدار بار مستقر بر روی هر اتم در سیستم مولکولی مورد نظر وجود دارد. مقادیر بار اندازه گیری شده برای مولکول ایپوروفن راست‌گرد در شکل ۳ نشان داده شده است.

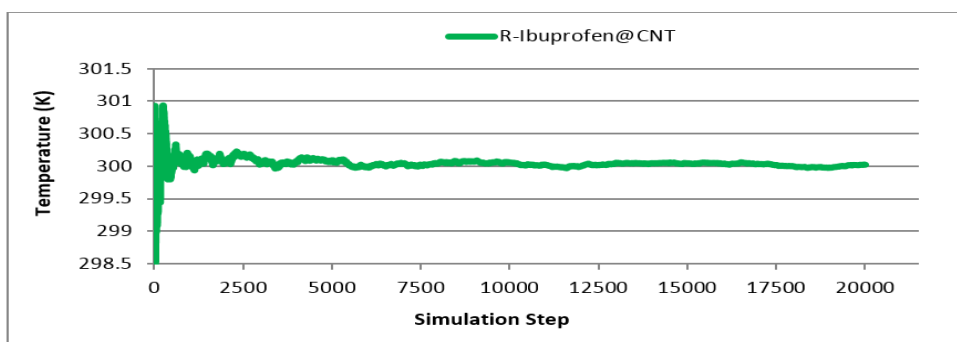
بعد از بهینه سازی ساختارهای مولکولی سیستم‌های مورد نظر، برهمکنش میان مولکول ایپوروفن و نانولوله کربنی بررسی شد. برای این منظور، دو حالت متفاوت برای مولکول ایپوروفن برهمکنش دهنده در نظر گرفته شد. در حالت اول، مولکول ایپوروفن در داخل نانولوله قرار داده شد و در حالت دوم به سطح خارجی نانولوله نزدیک شد.

نمایی از داروی ایپوروفن نزدیک شده به نانولوله در داخل و سطح خارجی نانولوله در شکل ۴ نشان داده شده است.

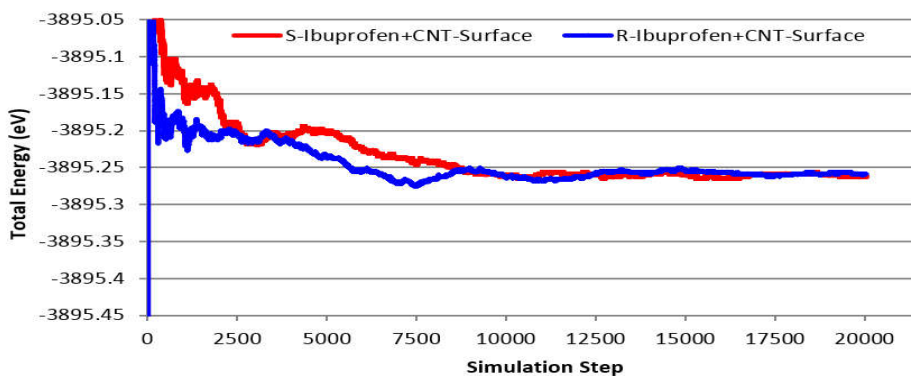
در مرحله بعد، فرایند شبیه سازی دینامیک مولکولی برای مدل‌های ساخته شده انجام شد. نمودار دما-گام شبیه سازی برای نمونه، برای یکی از سیستم‌های طراحی شده، در نمودار ۱ نشان داده شده است. این نمودار بیانگر آن است که سیستم مولکولی مورد نظر بعد از نوسانات اولیه در دما به تعادل رسیده و با محیط هم دما می شود. در واقع نمودار مزبور نشان دهنده اجرای درست شبیه سازی مولکولی مورد نظر است و نتایج استخراج شده از آن دارای اعتیار کافی است.



شکل ۴. نمایی از داروی ایبوپروفن نزدیک شده به نانولوله، در سطح داخلی (آ) و خارجی (ب) نانولوله



نمودار ۱. دمای سیستم ایبوپروفونانو لوله کربنی (۱۶,۴)



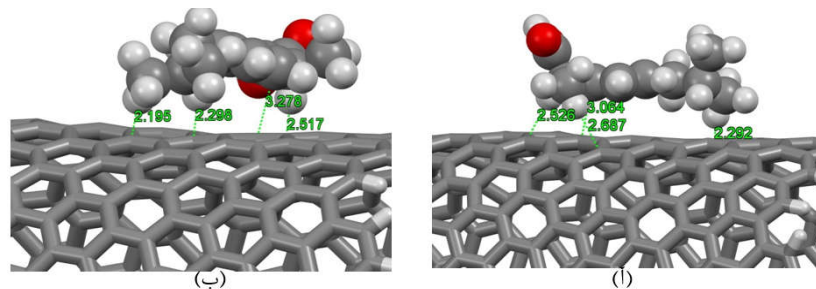
نمودار ۲. ترازهای انرژی اناتیومر راست‌گرد و اناتیومر چپ‌گرد ایبوپروفن در برهمکنش با سطح خارجی نانو لوله کربنی (۱۶,۴).

بین حلقه‌های آروماتیک و نانو لوله در اناتیومر چپ‌گرد $\frac{3}{2}\text{۹}$ آنگستروم و در اناتیومر راست‌گرد $\frac{3}{5}\text{۱}$ آنگستروم است. این فاصله در اناتیومر چپ‌گرد نسبت به اناتیومر راست‌گرد کمتر است که عاملی موثر در جاذبه قوی‌تر بین این اناتیومر و نانولوله و در نتیجه سطح انرژی پایین‌تر کمپلکس است (شکل ۷).

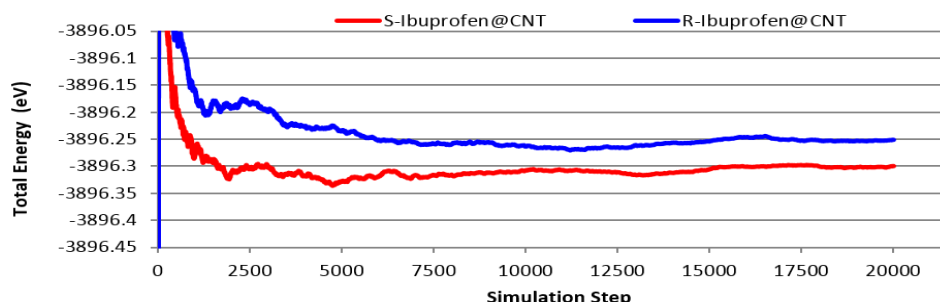
از طرف دیگر، اکسیژنهای مولکول ایبوپروفن دارای جفت الکترون ناپیونندی و حلقه نانو لوله کربنی نیز دارای الکترونهاي پاي است که سبب ایجاد دافعه بین اکسیژنهای و حلقه نانو لوله می‌شود. در نتیجه، فاصله بیشتر اکسیژنهای با سطح

سطح داخلی نانو لوله کمتر باشد، جذب بهتری صورت می‌گیرد. فواصل تعادلی مشاهده شده نشان می‌دهد که فاصله پیوندی اتم‌های هیدروژن اناتیومر چپ‌گرد ایبوپروفن، از دیواره داخلی نانو لوله کربنی، نسبت به اناتیومر راست‌گرد کمتر است (شکل ۶).

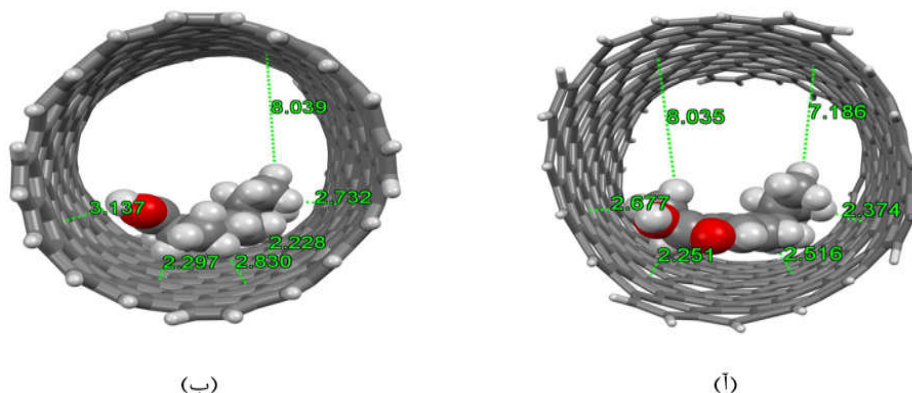
به علاوه، با وجود برهمکنش‌های پای (p) بین حلقه فنیل دارو و حلقه نانولوله، نیروی جاذبه قابل توجهی بین دارو و نانولوله برقرار می‌شود. در واقع فاصله کمتر حلقه فنیل دارو نسبت به سطح نانولوله باعث جذب بیشتر آن خواهد شد. ساختار بهینه شده نشان می‌دهد، فاصله تعادلی



شکل ۵. ساختار بهینه سازی شده برای اننتیومرهای چپ گرد (آ) و راست گرد (ب)



نمودار ۳. ترازهای اتریویر، استگرد و اناتسیوم جب گرد اینویر و فن در یه مکنیش، با سطح داخلی، تانو لوله کریه، (۱۶، ۴)



شکل ۶. ساختار ابیوپروفن راست گرد (آ) و چپ گرد (ب) در برهمکنش با سطح داخلی نانو لوله کربنی (۱۶، ۴) بعد از بهینه سازی به وسیله میدان نیروی کنسرگ

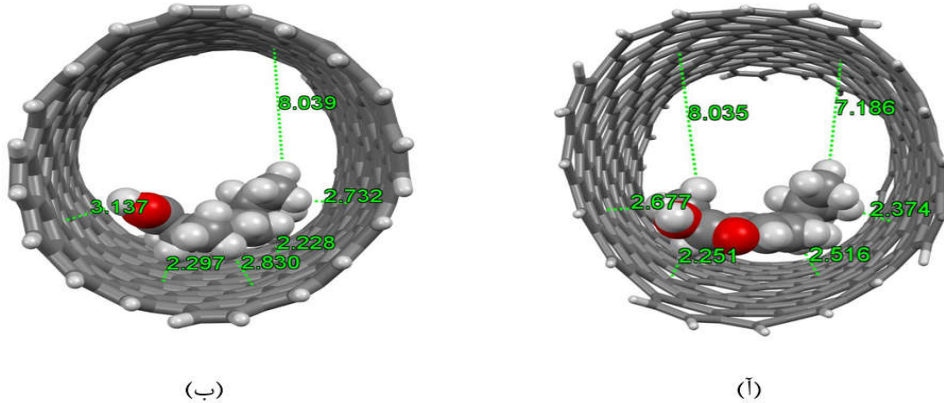
بعد از بهینه سازی سامانه از بالا به پایین و از چپ به راست، نشان داده شده است. مشاهده می شود که قطر نانولوhe تحت تاثیر داروی کیسولوhe شده در داخل آن تغییر می کند.

دحث

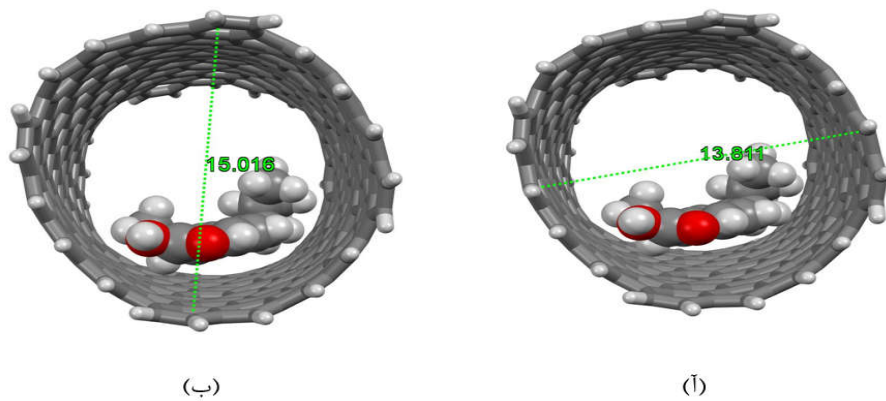
به طور کلی با توجه به اینکه، بین انرژی جذب انانتیومرهای جذب شده در داخل نانو لوله کربنی (۱۶، ۴) اختلاف کافی وجود دارد، می‌توان انتظار داشت که این نانولوله در فرآیند جداسازی انانتیومرها موثر عمل کند. با توجه به عملکرد نانولوله کربنی در جداسازی ایزومرهای دارویی، حداقل اختلاف

لوله، منجر به جذب بهتر دارو خواهد شد. فاصله اکسیژن‌ها و حلقه فنیل ایبوپرو芬 راست‌گرد و چپ‌گرد از سطح داخلی نانو لوله، در شکل ۸ نشان داده شده است. نزدیکترین فاصله تعادلی بین اتم‌های اکسیژن از سطح داخلی نانولوله در آنانتیومر راست‌گرد ایبوپرو芬 $2/73$ آنگستروم و در آنانتیومر چپ‌گرد $3/55$ آنگستروم است. این فاصله در آنانتیومر چپ‌گرد نسبت به آنانتیومر راست‌گرد بیشتر است و در نتیجه سطح اندیشه، این سیستم باستقامت است.

در ادامه، خواص ساختاری نانو لوله کربنی و قطر دهانه نانو لوله در برهمکنش با مولکول ایبوپروفن، بعد از بهینه سازی سامانه مورد بررسی قرار گرفت. در شکل ۳ قطر دهانه نانو لوله



شکل ۷. فاصله اتم‌های اکسیژن و حلقه فنیل ایبوپرو芬 راست‌گرد (آ) و چپ‌گرد (ب) در برهمکنش با سطح داخلی نانو لوله کربنی (۱۶،۴) بعد از بهینه سازی به وسیله میدان نیروی کنکنگر



شکل ۸. قطر دهانه نانولوله بعد از بهینه سازی سیستم (آ) از چپ به راست و (ب) از بالا به پایین.

جدول ۱. انرژی کل سیستم راست‌گرد، انرژی کل سیستم چپ‌گرد و اختلاف انرژی جذب انانتیومرها

اختلاف انرژی انانتیومرها	انرژی کل سیستم چپ‌گرد	انرژی کل سیستم راست‌گرد	سطح خارجی نانولوله
۰/۰	-۸۹۸۲۴/۴۶	-۸۹۸۲۴/۴۶	سطح داخلی نانولوله
۱۱/۵۳	-۸۹۸۴۸/۶۸	-۸۹۸۴۷/۵۲	سطح داخلی نانولوله

حلقه نانو لوله، وجود دارد. همچنین بین اکسیژن‌های مولکول ایبوپروفن و حلقه نانو لوله دافعه وجود دارد، زیرا اکسیژن‌ها دارای جفت الکترون ناپیونندی و حلقه نانو لوله کربنی دارای الکترون‌های پای است. در نتیجه فاصله بیشتر اکسیژن‌ها منجر به جذب بهتر دارو می‌شود. این مساله باعث می‌شود که سطح انرژی سامانه ایبوپروفن چپ‌گرد در همه موارد نسبت به ایبوپروفن راست‌گرد، پایین‌تر باشد و در نتیجه این سامانه نسبت به سامانه ایبوپروفن چپ‌گرد پایدارتر باشد (جدول ۱). بین انرژی جذب جفت انانتیومرها مولکولی، در برهمکنش با سطح خارجی این نانو لوله، تفاوتی وجود نداشت. در نتیجه

انرژی لازم برای جداسازی موثر برابر ۱/۰ کیلوکالری بر مول یا ۰/۰۰۴ الکtronon ولت است (۲۲). اختلاف انرژی جذب برای انانتیومرها جذب شده در داخل نانو لوله کربنی انتخاب شده، برابر ۰/۵ الکtronon ولت است که این اختلاف انرژی برای جداسازی موثر، کافی است.

برهمکنش نانو لوله کربنی با ایبوپروفن چپ‌گرد، در تمام ساختارهای بهینه شده به صورتی بود که اتم‌های اکسیژن از سطح داخلی نانو لوله دورتر و حلقه دارو به حلقه فنیل نزدیک‌تر بود. همان طور که بیان شد فاصله کمتر حلقه فنیل دارو، با سطح داخلی نانولوله باعث جذب بیشتر انانتیومرها می‌شود، زیرا برهمکنش‌های پای (p) بین حلقه فنیل دارو و

برای جذب یک اننتیومر خاص موثر عمل نخواهد کرد.

سطح خارجی نانو لوله کربنی (۱۶، ۴) به عنوان جاذب مناسب

REFERENCES

1. Von Heeren F, Thormann W. Capillary electrophoresis in clinical and forensic analysis. *Electrophoresis* 1997;18:2415–26.
2. Naylor S, Benson LM, Tomlinson AJ. Application of capillary electrophoresis and related techniques to drug metabolism studies. *J Chromatogr A* 1996;735:415–38.
3. Soleymani E, Alinezhad H, Ganji MD, Tajbakhsh M. Enantioseparation performance of CNTs as chiral selectors for the separation of ibuprofen isomers: A dispersion corrected DFT study. *J Mater Chem B* 2017;5:6920–9.
4. Hutt AJ, Valentová J. The chiral switch: The development of single enantiomer drugs from racemates. *Acta Fac Pharm Univ Comenianae* 2003;50:7–23.
5. Johannsen M. Separation of enantiomers of ibuprofen on chiral stationary phases by packed column supercritical fluid chromatography. *J Chromatogr A* 2001;937:135–8.
6. Schurig V. Separation of enantiomers by gas chromatography. *J Chromatogr A* 2001;906:275–99.
7. Scriba GKE. Review Pharmaceutical and biomedical applications of chiral capillary electrophoresis and capillary electrochromatography : an update. *Electrophoresis* 2003;2409–21.
8. Gallardo A, Roman JS, Barbas C, Cifuentes A, Simo C. Fast and sensitive capillary electrophoresis method to quantitatively monitor ibuprofen enantiomers released from polymeric drug. *J Chromatogr B* 2002;767:35–43.
9. Cizmáriková R, Valentová J, Hutta JA. Adrenergic beta-receptor blockers--a group of chiral drugs: enantioseparation in the group of beta-blockers. *Ceska Slov Farm* 2004; 53:9-17.
10. Bianco A, Kostarelos K, Prato M. Applications of carbon nanotubes in drug delivery. *Curr Opin Chem Biol* 2005;9:674–9.
11. Wright MR, Sattari S, Brocks DR, Jamali F. Improved high-performance liquid chromatographic assay method for the enantiomers of ibuprofen. *J Chromatogr B Biomed Sci Appl* 1992;583:259–65.
12. Shen TY. Perspectives in nonsteroidal anti-inflammatory agents. *Angew Chem Int Ed Engl* 1972;11: 460-472.
13. Esfandiarpour S, Fazli M, Ganji MD. Reactive molecular dynamic simulations on the gas separation performance of porous graphene membrane. *Sci Rep* 2017;7:1–12.
14. Mueller JE, van Duin ACT, Goddard WA. Development and validation of ReaxFF reactive force field for hydrocarbon chemistry catalyzed by nickel. *J Phys Chem C* 2010;114:4939–49.
15. Gardam M, McGeer A, Mertz D. Portable ultraviolet light surface-disinfecting devices for prevention of hospital-acquired infections: a health technology assessment. *Ont Health Technol Assess Ser* 2018;18:1-73.
16. van Duin ACT, Dasgupta S, Lorant F, Goddard WA. ReaxFF: A reactive force field for hydrocarbons. *J Phys Chem A* 2001;105:9396–409.
17. Cheung S, Deng W-Q, Duin ACT, Goddard WA. ReaxFF MgH Reactive Force Field for Hydride Systems. *J Phys Chem A* 2005;109:851–9.
18. Liu H, Chen Z, Dai S, Jiang DE. Selectivity trend of gas separation through nanoporous graphene. *J Solid State Chem* 2015;224:2–6.
19. Neese F. Software update: the ORCA program system, version 4.0. *Wires Computational Molecular Science* 2018;8:1327.
20. Saito R, Dresselhaus G, Dresselhaus MS. Trigonal warping effect of carbon nanotubes. *Phys Rev B* 2000;61:2981–90.
21. Jorio A, Saito R, Hafner JH, Lieber CM, Hunter M, McClure T, et al. Structural determination of isolated single-wall carbon nanotubes by resonant raman scattering. *Phys Rev Lett* 2001;86:1118–21.
22. Power TD, Skoulios AI, Sholl DS. Can chiral single walled carbon nanotubes be used as enantiospecific adsorbents? *J Am Chem Soc* 2002;124:1858–9.